

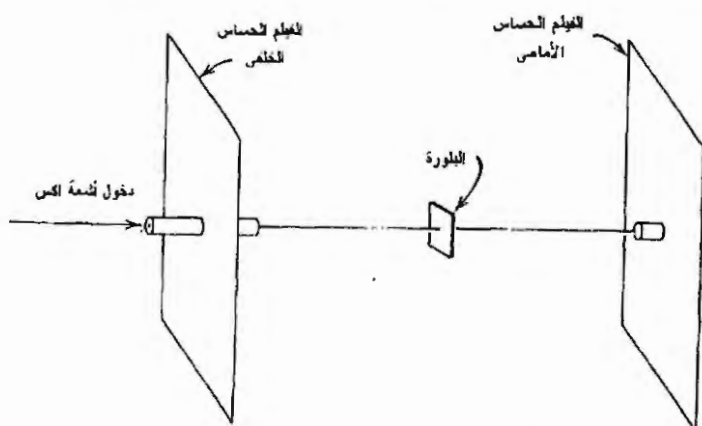
## 2-2-4 الطرق التجريبية

للحصول على نماذج لحيود أشعة اكس عن البلورات لا بد من حصول توافق بين كل من  $\theta$ ,  $\lambda$  حتى يتحقق قانون برااغ. إذ لو سقط شعاع طوله الموجي  $\lambda$  على بلورة ثابتة بزاوية سقوط ما فلا يتوقع حصول انعكاس وتدخل بنائي بشكل عام. ولكن لا بد من الناحية التجريبية أن نوفر أشعة ذات طول موجي متغير فوق مدى معين (مثلاً  $2.4^\circ - 0.2^\circ$ ) أو أن نغير زاوية السقوط بشكل مستمر (مثلاً  $50^\circ - 0^\circ$ ) حتى يحصل التوافق بين  $\theta$ ,  $\lambda$  في قانون برااغ.

وقد صممت طرق معيارية لحيود أشعة اكس لدراسة البناء البلوري لعينات مختلفة من المواد المتبلورة. وسوف نصف باختصار ثلاث طرق يستخدمها الفيزيائيون منذ بضعة عقود.

### أ- طريقة لاو (Laue Method)

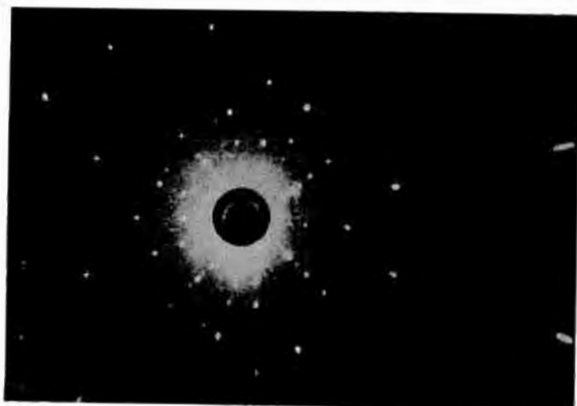
وفيها نسقط شعاعاً من أشعة اكس يتغير طوله الموجي  $\lambda$  بشكل مستمر من المصدر، نسقطه على بلورة أحادية ثابتة. وفي داخل البلورة مجموعات متعددة من المستويات البلورية المتوازية (ويرمز لكل مجموعة بالرموز  $l, h, k$ ). وعندما تتفق زاوية السقوط لإحدى هذه المجموعات (المسافة بين المستويات البلورية  $l$ ) مع إحدى قيم  $\lambda$  بحيث يتحقق قانون برااغ نحصل على انعكاس عن هذه المستويات المتوازية وعلى تداخل بنائي بين الأشعة المنعكسة عنها وتظهر نقطة بارزة على الفيلم الحساس أو الكاشف. ولمجموعة أخرى من المستويات المتوازية (رموزها  $l', h', k'$ ) نحصل على نقطة أخرى على الفيلم الحساس إذ تختار هذه المجموعة طولاً موجياً آخر لتحقيق قانون برااغ، وهكذا لكل مجموعة من المجموعات العديدة. وبالتالي فإن نموذج الحيود يتتألف من نقاط متتالية مرتبة ترتيباً يكشف عن التماثل الموجود في البلورة. انظر الشكل (2.10) كيفية إعداد التجربة.



شكل (2.10): ترتيب التجربة لطريقة لاو

وانظر الشكل (2.11) الذي يبين نموذج الحيود لمادة السيليكون باستخدام هذه الطريقة.

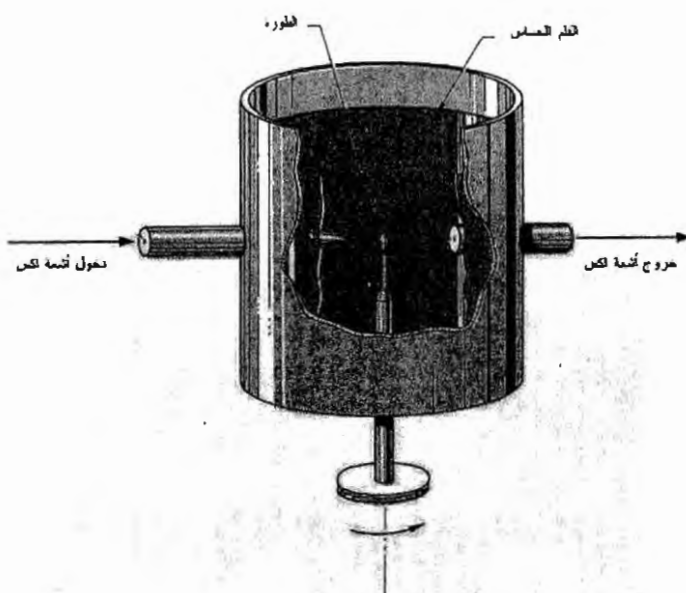
والنقاط التي تظهر مرتبة في نموذج الحيود هي رسم لنقاط الشبكة المقلوبة لأن كل نقطة في نموذج الحيود تقع على مسافة تساوي أحد المتجهات في الشبكة المقلوبة ( $G$ ) من نقطة السقوط امثلاً للعلاقة  $\vec{G} = \vec{k}' - \vec{k}$ .



شكل (2.11): نموذج لاو لبلورة السيليكون.

**بـ طريقة دوران البلورة (Rotating-Crystal)**

وفي هذه الطريقة ثبت الطول الموجي لأشعة اكس الساقطة على البلورة والتي تكون مثبتة على حامل رأسي ثم يجعلها تدور حول المحور الرأسى الذى يعامد اتجاه أشعة اكس (انظر الشكل 2.12). وفي هذه الحالة لا تحتاج إلى تغيير  $\lambda$  ، ولكننا بإدارة البلورة حول المحور الرأسى نغير من زاوية السقوط  $\theta$  على مجموعة المستويات ( $h, k, l$ ) حتى تكون قيمتها محققة لقانون برااغ. وحيث أن قيم  $\theta$  تتغير بشكل مستمر فإن كل مجموعة منمجموعات المستويات المتوازية تختار الزاوية التي تتناسبها لتحقيق قانون برااغ وتؤدي إلى ظهور نقطة على الفيلم الحساس، ويكون هذا الفيلم ملتصقاً على الجدار الداخلي لأسطوانة تحيط بالعينة وبحيث يكون محور الأسطوانة هو نفس المحور الرأسى الذي تدور حوله البلورة.

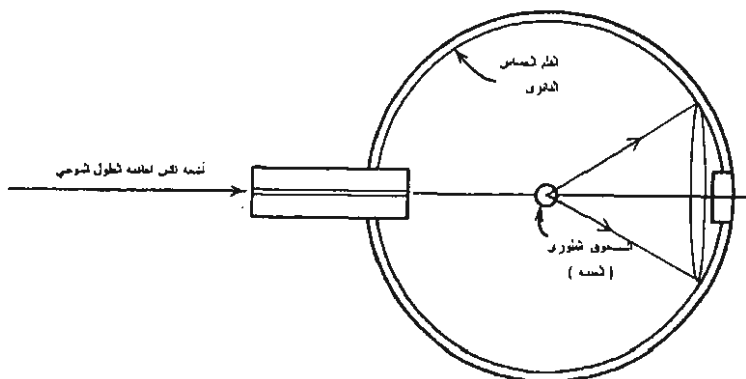


شكل (2.12): ترتيب التجربة في طريقة البلورة الدوارة.

وتتعكس الأشعة عن جميع المستويات التي تكون موازية للمحور الرأسي بحيث تقع هذه الأشعة المنعكسة في المستوى الأفقي، أما المستويات الأخرى المائلة عن المحور الرأسي فتقع الأشعة المنعكسة عنها فوق أو تحت المستوى الأفقي.

#### جـ- طريقة المسحوق البلوري (Powder Method)

وتكون العينة التي تستخدم في هذه التجربة كمية قليلة من مسحوق ناعم (من البلورة تحت الدراسة) توضع في أنبوب زجاجي دقيق (capillary)، ثم نضع هذه العينة في مركز كاميرا دائيرية الشكل تحتوي على فيلم حساس ملصق على محيطها الداخلي. وتدخل أشعة أكس حين سقوطها على العينة من ثقب صغير بجانب الكاميرا، وتخرج باقي الأشعة من ثقب آخر يقابلة. (انظر الشكل 2.13a)



شكل (2.13a): الكاميرا المستخدمة في طريقة المسحوق البلوري.

وتكون الأشعة السينية أحادية الطول الموجي ( $\lambda$ ). ويوفر المسحوق الناعم عدداً كبيراً جدًا من البلورات الصغيرة بحيث تكون اتجاهاتها موزعة على جميع الزوايا بشكل متصل تقريباً. وتتعكس الأشعة عن البلورات الصغيرة التي يحصل أن تصنع بعض المستويات البلورية فيها زاوية مقدارها  $\theta$  تتفق مع قيمة  $\lambda$  بحيث يتحقق

قانون براغ. وتخرج هذه الأشعة بعد حيودها عن العينة على شكل مخروطي حول اتجاه الشعاع الساقط قاطعة الفلم الحساس داخل الكاميرا في حلقات متالية حسب زاوية المخروط. وتكون الزاوية بين سطح المخروط واتجاه الشعاع الساقط تساوي  $2\theta$  حيث  $\theta$  هي زاوية براغ. (انظر الشكل 2.13b)



شكل (2.13b): نموذج التشتت مسجلًا على الفلم الحساس

### 5-2-2 مناطق بريلواں (Brillouin Zones)

لقد مر معنا عند دراسة حيود الأشعة السينية (وبعد تعريف الشبيكية المقلوبة) بأن الأشعة الساقطة على الميلورة بالاتجاه  $\bar{k}$  سوف تتشتت في الاتجاه  $\bar{k}'$  (وبالشدة العظمى) عندما يكون الفرق بين  $k, k'$  متساوياً لأحد متجهات الشبيكية المقلوبة، أي

$$k' - k \equiv \Delta k \equiv G$$

۱۹

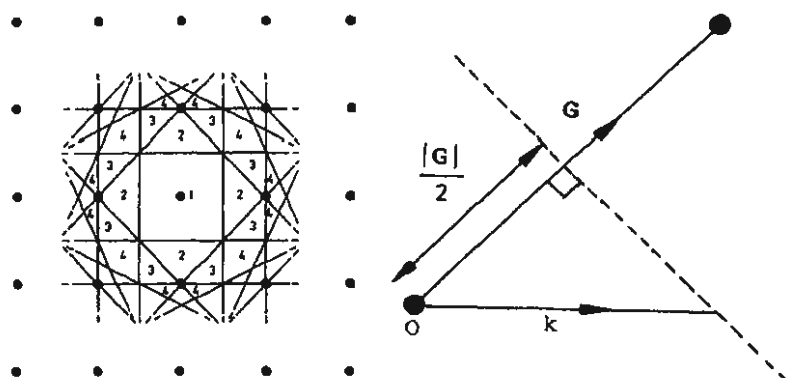
$$2\vec{k} \cdot \vec{G} = |G|^2$$

۱۰

$$\bar{k} \cdot \left( \frac{1}{2} \bar{G} \right) = \left| \frac{1}{2} G \right|^2 \dots \dots \dots (2.24)$$

ويمكن تمثيل هذه العلاقة هندسياً بأن نختار شبيكة مقلوبة مؤلفة من عدد كبير من النقاط، ونجعل إحدى هذه النقاط نقطة الأصل (0) ثم نصل 0 مع إحدى النقاط المجاورة فيكون المتجه بين 0 والنقطة المجاورة هو إحدى متوجه الشبكة المقلوبة  $G$ ، ثم نرسم مستوى معادلاً للمتجه  $G$  ويمر من منتصفه (انظر الشكل 2.14).

لشبكة مرية في بعدين). وعندئذ فإن أي متجه  $\tilde{k}$  يبدأ عند 0 وينتهي على سطح هذا المستوى يحقق العلاقة السابقة، أي أن الشعاع الساقط في الاتجاه  $k$  يحقق شرط التشتت البنائي ويكون التشتت في الاتجاه  $k'$  الذي يساوي  $(k - G)$ . وليس هذا المستوى المعادل للمتجه  $G$  إلا جزءاً من سطح يحيط بالنقطة 0، إذ لو وصلنا نقطة الأصل مع جميع النقاط من حولها لحصلنا على عدد كبير من المتجهات  $G$ . ثم إن مجموعة المستويات التي تُعامد هذه المتجهات وتتصبّعها تشكّل عند تقاطعها منطقة (أو مناطق) مفولة حول النقطة 0، ويكون كل متجه موجي  $k$  يبدأ عند 0 وينتهي على سطح أي مستوى من هذه المستويات محققاً لشرط التشتت البنائي. ويؤدي تقاطع هذه المستويات إلى تجزئة فضاء الشبكة المقلوبة إلى قطع متباورة تمثل مناطق مختلفة. وفي الشبكة المقلوبة المرية يكون المربع المركزي هو المنطقة الأولى المتكمالة والتي تمثل الخلية الأولية (أصغر مساحة) في هذه الشبكة (انظر الشكل 2.15). وتسمى هذه الخلية الأولية (المربع المركزي) بمنطقة برلوان الأولى. أما منطقة برلوان الثانية فهي مجموع الأجزاء الأربع المشار إليها بالرقم 2. والمنطقة الثالثة هي مجموع الأجزاء الثمانية المشار إليها بالرقم 3، وهكذا.



الشكل (2.15): تمثيل العلاقة 2.24 في الشكل (2.24)؛ منطق برلوان (الأولى، الثانية والثالثة) لشبكة ثانية الأبعاد.